

## توزیع میدان سرعت جریان پلاسما در پایه جت‌های رنگین‌سپهر

النار امیرخانلو<sup>۱</sup>، احسان توابی<sup>۲</sup> و سیما ضیغمی<sup>۳\*</sup>

۱. دانشجوی کارشناسی ارشد، گروه فیزیک، دانشگاه پیام نور، زنجان، ایران

۲. دانشیار، گروه فیزیک، دانشگاه پیام نور، تهران، ایران

۳. استادیار، گروه فیزیک، دانشکده علوم پایه، واحد تبریز، دانشگاه آزاد اسلامی، تبریز، ایران

(دریافت: ۹۶/۱۱/۱۴، پذیرش نهایی: ۹۷/۷/۳)

### چکیده

خورشید به طور مداوم ذرات یونیزه را به بیرون از اتمسفر پرتاپ می‌کند که سبب بادهای خورشیدی می‌شوند. برای درک اینکه منشأ این بادها کجاست ۵۰ سال است که تحقیقات گوناگون در شیدسپهر، تاج و رنگین‌سپهر انجام می‌شود. خفره‌های تاجی در مقایس بزرگ معمولاً مناطقی هستند که به طور قطعی به عنوان منشأ بادهای خورشیدی پذیرفته شده‌اند. با این حال هنوز تحقیق و پژوهش در مناطق دیگر انجام می‌شود. جت‌های شبکه‌ای یکی از پدیده‌هایی هستند که به عنوان منشأ بادهای خورشیدی مطرح می‌باشند. هدف ما بررسی توزیع میدان سرعت درون آنها و پی بردن به ساختار این نوع جت‌ها و نقش آن در جریان‌های پلاسمایی می‌باشد. نوسانات و جابه‌جایی عرضی محور جت‌ها را می‌توان به دلیل وجود امواج عرضی در امتداد محور آنها تعبیر نمود. دو نوع موج که مسئول این نوسانات هستند عبارتند از امواج مگنتوکوستیکی و امواج آفون. در این مقاله با استفاده از تصاویر تلسکوپ IRIS با کمک الگوریتم FLCT تحت برنامه‌نویسی IDL توزیع میدان سرعت جریان پلاسما را در پایه جت‌های رنگین‌سپهر مورد مطالعه قرار دادیم.

واژه‌های کلیدی: پلاسما، جت رنگین‌سپهر، سرعت ظاهری، امواج آفونی.

### ۱. مقدمه

نوع اول سیخک‌هایی با طول عمر معمولی ۱۵۰-۴۰۰ ثانیه با حرکت‌های رو به بالا و رو به پایین بر روی مسیرهای سهمی با حداکثر سرعت رو به بالا ۱۵ تا ۴۰ کیلومتر بر ثانیه و نوع دوم فقط حرکات رو به بالا با طول عمر ۵۰ تا ۱۵۰ ثانیه، و سرعت ۳۰ تا ۱۱۰ کیلومتر بر ثانیه دارند. سیخک‌های نوع دوم عمدتاً در هر دوناحیه خورشید آرام و خفره‌های تاج وجود دارند؛ اما در مناطق فعال سیخک‌های نوع اول تسلط دارند. سایر رویدادهای گذرا جت‌های شبکه‌ای هستند که به راحتی در خفره‌های تاجی واقع در نزدیکی لبه خورشید دیده می‌شوند. آنها به‌وضوح در هر مکانی روی سطح خورشید (Solar disk) خارج از مناطق فعال تشخیص داده می‌شوند. با توجه به بررسی‌های نمونه‌ای که توسط تیان و همکاران (۲۰۱۴) انجام شده است (۶۳ جت به صورت تصادفی انتخاب شده بود) سرعت جت‌های شبکه‌ای تقریباً ۳۰۰ کیلومتر بر ثانیه برآورد شده است. سرعت ظاهری این جت‌ها عمدتاً در

لایه‌های اصلی جو خورشید از سطح خورشید به سمت بالا شامل شیدسپهر (Photosphere)، رنگین‌سپهر (Chromosphere)، ناحیه انتقالی (Transition Region) و تاج (Corona) می‌باشد. در سال‌های اخیر دانشمندان تلاش زیادی برای درک سازوکار انتقال انرژی در رنگین‌سپهر خورشیدی و تاج انجام داده‌اند. محققان پیشنهاد می‌کنند که کلید حل این مشکل می‌تواند در درک ماهیت رویدادهای گذرا با مقایس ریز باشد که در سراسر سطح خورشید توزیع یافته است. از این تعداد، سیخک‌های خورشید (Solar spicules) بر جسته‌ترین پدیده‌های دینامیک در مقایس کوچک در مناطق رنگین‌سپهر هستند که مواد نسبتاً سرد را از رنگین‌سپهر پایین به تاج می‌رانند. سیخک‌ها می‌توانند هم با خارج کردن پلاسمای داغ و هم با انتقال انرژی توسط امواج مگنتوکوستیک تاج را گرم کنند (ضیغمی و همکاران ۲۰۱۶). تاکنون دو نوع سیخک شناسایی شده:

جرمی ایجاد نمی‌شود (تیان و همکاران، ۲۰۱۴). این جت‌های شبکه‌ای به عنوان یک منبع متنابع، اما مستمری از توده و انرژی برای بادهای خورشیدی محسوب می‌شوند. برای این جت‌ها اگر فرض کنیم همه جت‌های بلاسمایی به باد خورشیدی کمک کنند، این مقدار حدود ۲ تا ۲۴ برابر بزرگتر است. بدون مشاهدات تاج خورشید نمی‌توان اندازه‌ای از باد خورشیدی را تعیین کرد. ساختارهایی وجود دارد که این جت‌های شبکه‌ای ممکن است مدل‌های باد خورشیدی را به چالش بکشند. مشاهدات آیریس وجود جریان‌های متنابع با سرعت بالا از شبکه‌ها را نشان می‌دهد (تیان و همکاران، ۲۰۰۵؛ توابی و همکاران، ۲۰۱۵a). این سناریو شامل آن است که اتصال مجدد بین خطوط میدان باز در شبکه و حلقه‌های اطراف آن وجود دارد (بانگ و همکاران، ۲۰۱۳). با این حال، حداکثر سرعت خروجی تولید شده توسط این مدل در حدود ۳۰ کیلومتر بر ثانیه است و معلوم نیست که کل جریان توسط جرم و انرژی بادی می‌تواند به این ترتیب تولید شود یا نه (کرانم و همکاران، ۲۰۱۰). اگر این جت‌ها باد خورشیدی نوظور نیستند، حداقل تعامل آنها با باد باید باشد و در مدل‌های انرژی خورشیدی مورد توجه قرار گرفته شود، زیرا آنها بر جسته ترین ویژگی منطقه انتقالی در شبکه‌هاستند جایی که معتقد هستیم باد از آنجا آغاز شود.

در این تحقیق با استفاده از داده‌های سایت IRIS (Interface Region Imaging Spectrograph) تصاویر موردنظر را دریافت می‌کنیم. اساساً تحلیل حرکت‌های ساختارهایی همچون سیخک‌ها و جت‌های خورشیدی به دو روش پردازش تصویری و روش طیفی قبل از تصوری است. در اولین روش جایه‌جایی‌ها و اختلالات در تصاویر اندازه‌گیری می‌شود درحالی که در دومین روش طرح‌های پریودیکی در شیفت‌های دوپلری به‌وسیله اسپکترومترها مورد بررسی قرار می‌گیرد. روش آنالیز ما بر اساس Fourier Local Correlation (FLCT) و پردازش (Tracking) می‌باشد. به کمک الگوریتم FLCT تحت

محدوده ۸۰ تا ۲۵۰ کیلومتر بر ثانیه قراردارند، که بسیار بزرگ‌تر از سرعت صوت و نزدیک به سرعت آلفون در رنگین‌سپهر است (دی‌پونتیه و همکاران، ۲۰۱۱). این سرعت‌ها به طور قابل توجهی بزرگ‌تر از سرعت‌های مورد بررسی جت‌ها در رنگین‌سپهر و ناحیه انتقالی هستند (شیاتا و همکاران، ۲۰۰۷؛ پریرا و همکاران، ۲۰۱۲). در برخی از جت‌ها شتاب نیز مشاهده می‌شود و طول عمر آنها بین ۲۰ تا ۸۰ ثانیه قرار گرفته است. اکثر جت‌ها دارای طول ۴ تا ۱۰ مگامتری باشند، اگرچه طول برخی از آنها به ۱۵ مگامتر هم می‌رسند. بسیاری از جت‌های شبکه‌ای حرکت‌های آشکاری را به صورت عرضی در زمان انتشار از خود نشان می‌دهند که گویای این حقیقت است که آنها می‌توانند امواج مگتوهیدرودینامیکی عرضی معروف به امواج آلفون را حمل کنند. مشاهدات طیفی برای تخمین تقریبی سرعت امواج آلفون انجام شده است که به طور میانگین تغییر نوسان دوپلری آنها در خط  $1393/77 \text{ \AA}$  فیلتر سیلیسیم چهار (Si IV) در حدود ۵ کیلومتر بر ثانیه است، که می‌تواند به عنوان دامنه موج حل شده در نظر گرفته شود. بسیاری از این جت‌های شبکه‌ای برخلاف جت‌های واقع بر روی خورشید و منطقه انتقالی، احتمالاً از نوع سیخک‌های نوع دوم هستند. از جمله ویژگی‌های این جت‌ها این است که با سرعت‌های  $110-50 \text{ کیلومتر بر ثانیه}$  به سمت بالا حرکت می‌کنند و در رنگین‌سپهر و در لبه خورشید دیده می‌شوند (دی‌پونتیه و همکاران، ۲۰۱۲؛ پریرا و همکاران، ۲۰۰۷a). مشاهدات نیز نشان می‌دهد منشأ در شبکه‌ها است، که مشاهدات خارج از لبه نمی‌تواند آن را تعیین کند. با این حال، قبل توجه است که سرعت جت‌های شبکه‌ای به طور کلی دو برابر بیشتر از سیخک‌های نوع دوم بوده، که نشان می‌دهد جت‌های شبکه‌ای نمونه‌هایی هستند که توسط پس‌باندهای منطقه انتقالی مورد استفاده قرار گرفته و در رنگین‌سپهر بالایی و منطقه انتقالی گرم شده و شتاب می‌گیرند (مارتینز و همکاران ۲۰۱۱) و همچنین سرعت‌های ظاهری که در جت‌های شبکه‌ای مشاهده می‌شود، همه به واسطه جریان

(پایه جت‌های رنگین‌سپهر) قصد بر آن داریم که مقدار سرعت آلفون مختصات مورد نظر را با استفاده از الگوریتم FLCT (فیشر و لش ۲۰۰۸) بدست آوریم. الگوریتم FLCT یک برنامه ریاضی است که برای ساختن یک میدان سرعت دو بعدی تصاویر متصل به هم استفاده می‌شود (توابی و همکاران، ۲۰۱۵ b). به طور خلاصه محاسبه سرعت در این روش وابسته به سه عامل است:

۱- منزوی بودن نقطه‌ای که بر روی تصویر در نظر می‌گیریم.

۲- محاسبه تابع همبستگی (Cross correlation) بین دو تصویر

۳- تعیین محل اوج تابع همبستگی عرضی برای هر پیکسل.

دیدگاه محاسباتی به کار رفته توسط FLCT به این صورت است که ابتدا ماتریس دو تصویر با شدت های  $I_1, I_2$  در زمان‌های  $t_1$  و  $t_2 = t_1 + dt$  به عنوان ورودی به برنامه معرفی شده و کد مذکور بر روی تمام پیکسل‌های تصاویر  $I_1, I_2$  در یک حلقه اجرا می‌شود. برای ساختن یک میدان سرعت دو بعدی که دو تصویر  $I_1(x, y), I_2(x, y)$  را در زمانهای  $t_1, t_2$  به هم مربوط می‌سازد باید از نقطه‌ای داخل هر دو تصویر شروع کرده تا یک بردار سرعت محاسبه شود، سپس این محاسبات برای تمام موقعیت‌های پیکسلی تصویر تکرار می‌شود. این محاسبات شامل سه عملکرد است: ۱- تنظیم کردن پنجره‌ای در تصاویر ورودی جهت جدا کردن محیط پیرامون پیکسل مورد نظر- ۲- محاسبه تابع همبستگی بین دو تصویر- ۳- مشخص کردن یک تابع همبستگی عرضی. برای هر پیکسلی که قرار است برای آن سرعت محاسبه شود یک تابع پنجره به کار می‌رود تا بخش‌هایی از تصویر دورتر از آن پیکسل را مشخص کند، به عبارت دیگر عمل موضعی کردن انجام می‌شود. الگوریتم FLCT می‌تواند این موضعی کردن را با ضرب کردن دو تصویر توسط یک تابع گوسی با عرض  $\sigma$  که در محل پیکسل  $(x_i, y_j)$  متمرکز شده به صورت زیر انجام دهد.

برنامه‌نویسی IDL و نرم‌افزار متلب، تصاویر را مورد مطالعه و تحلیل قرار داده و به این ترتیب مؤلفه‌ها، مقدار و جهت بردارهای سرعت ذرات پلاسمای پیرامون جت‌های شبکه‌ای را محاسبه و رسم می‌کنیم.

## ۲. مشاهدات رصدی

در ابتدای کار با استفاده از سایت IRI تصاویر مورد نظر را دریافت کردیم. داده مورد نظر تصاویر مربوط به تاریخ نوزدهم فوریه ۲۰۱۴ از ساعت ۱۶:۲۷ تا ۱۷:۳۵ زمان جهانی همراه با طیف‌نگاری باشد. میدان دید این مجموعه ۱۱۹ در راستای شمال جنوب و محل شکاف تقریباً در قطب جنوب خورشید واقع شده است. این شبکه داده‌ها از نوع شکاف ثابت بوده که به خاطر همین موضوع میدان دید شکاف پهنا ندارد. مرکز شکاف نسبت به مختصات خورشیدی در نقطه  $X = 6''$  و  $Y = -980''$  واقع شده است. گام‌ها در تولید شبکه داده‌ها ۹ ثانیه کمانی می‌باشد. تصاویر داده‌ها در سه فیلتر با طول موج‌های ۱۳۳۰، ۱۴۰۰ و ۲۸۳۲  $\text{\AA}$  بوده که در این تحقیق کار بر روی تصاویر فیلتر  $1400\text{\AA}$  انجام شده است. برای بررسی جهت و مقدار سرعت جت‌های شبکه‌ای، از الگوریتم FLCT تحت برنامه‌نویسی IDL و نرم‌افزار متلب بهره جستیم و بردارهای سرعت را محاسبه و رسم کردیم. شکل ۱ تصویر بدست آمده از مشاهدات IRIS در فیلتر Si IV مربوط به تاریخ نوزدهم فوریه ۲۰۱۴ می‌باشد که در شکل ۱-الف منشأ جت‌های شبکه‌ای با دایره‌های قرمز رنگ و یکی با مستطیل زرد رنگ (ناحیه مورد مطالعه) نمایش داده شده است، شکل ۱-ب منطقه مورد مطالعه را با بزرگنمایی نشان می‌دهد. ابتدا مختصات پایه جت‌های شبکه‌ای مورد نظر را بدست آورده‌یم. شکل ۲ تصویر IRIS در سه فیلتر نمایش رنگی می‌باشد و مستطیل نقطه‌چین به رنگ زرد در تصویر سمت چپ ناحیه مورد مطالعه را نشان می‌دهد.

## ۳. آنالیز داده‌ها

با  $(x_i, y_j)$  پس از انتخاب ناحیه مورد نظر

شکل ۳ تصاویر آنالیز شده در برنامه IDL را مشاهده می‌کنید که توسط نرم‌افزار متلب توانستیم بردارهای سرعت را که حالت پیچشی دارند و نشان دهنده سرعت آلفون می‌باشد نمایان سازیم. ابعاد تصاویر بر حسب پیکسل می‌باشد که هر پیکسل معادل با  $\frac{1}{3}$  ثانیه کمانی است. شکل ۳ توزیع میدان سرعت جت‌های شبکه‌ای را نشان می‌دهد که پیکان‌های آبی‌رنگ بردارهای سرعت را در ناحیه مورد مطالعه نمایش می‌دهد که شکل‌های ۱-الف تا ۱-د به ترتیب خروجی نتایج مربوط به بازه‌های زمانی ۱۶:۱۹ الى ۱۶:۳۸، ۱۶:۳۸ الى ۱۶:۵۷، ۱۶:۵۷ الى ۱۷:۱۶ و ۱۷:۱۶ الى ۱۷:۳۵ می‌باشد که به عنوان نمونه از بین ۱۸۰ تصویر انتخاب شده است. شکل ۴ هیستوگرام توزیع مؤلفه‌های افقی و قائم سرعت پایه جت‌های شبکه‌ای را در ناحیه مورد مطالعه نشان می‌دهد.

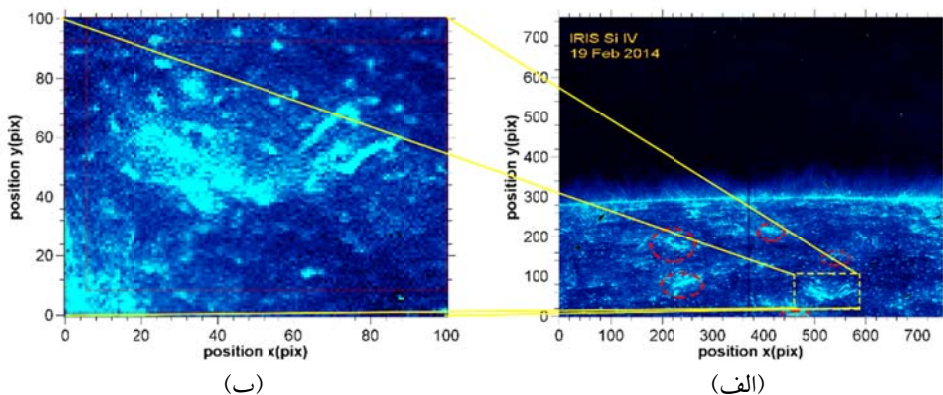
$$S_1^{(i,j)}(x,y) = I_1(x,y) e^{-[(x-x_i)^2 + (y-y_j)^2]/\sigma^2} \quad (1)$$

$$S_2^{(i,j)}(x,y) = I_2(x,y) e^{-[(x-x_i)^2 + (y-y_j)^2]/\sigma^2} \quad (\text{Y})$$

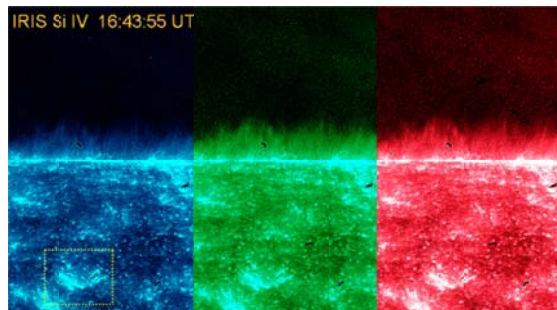
برای  $(i, j)$  امین پیکسل تابع همبستگی عرضی زیر تصویر ۱ با زیر تصویر ۲ به صورت زیر تعریف می‌شود (ولش و فیشر، ۲۰۰۴).

$$C^{i,j}(\delta x, \delta y) = \iint dx dy S_1^{i,j^*}(-x, -y) S_2^{i,j}(\delta x - x, \delta y - y) \quad (\text{¶})$$

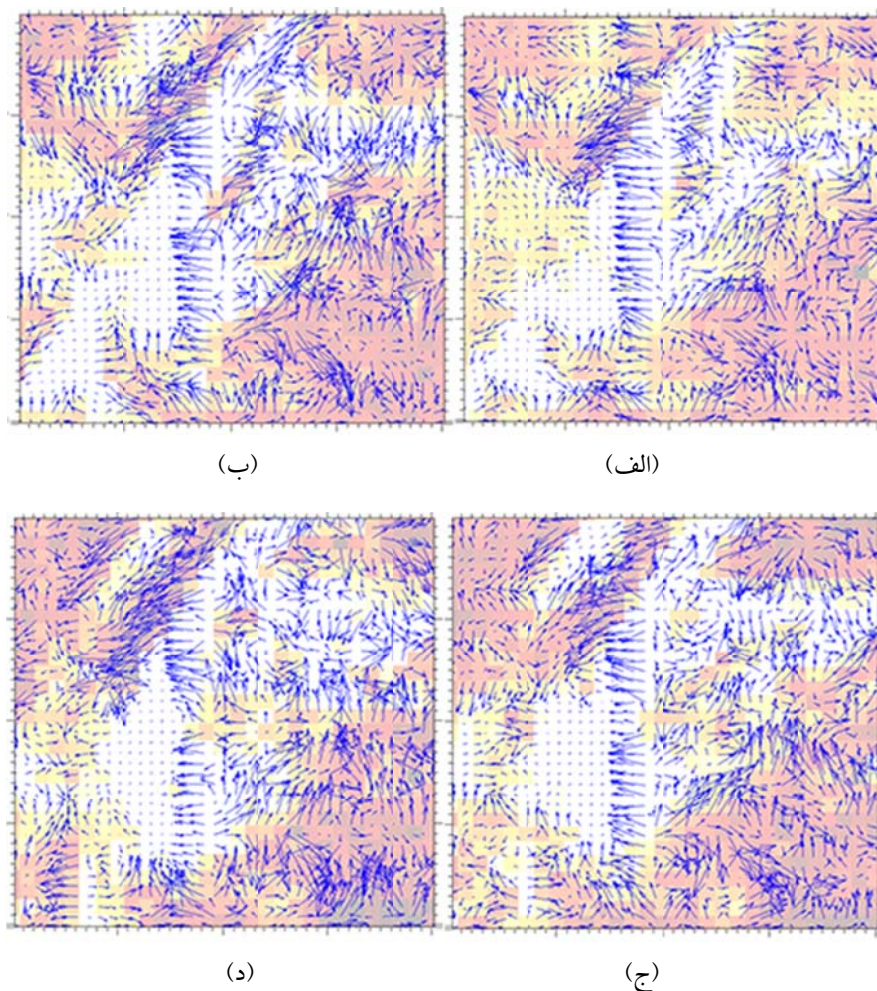
سپس برای هر دو تا زیر تصویر  $S_1$ ,  $S_2$  که در مکان  $(x_i, y_i)$  متمرکز شده، جایه‌جایی‌های  $\delta y$ ,  $\delta x$  طوری محاسبه می‌شود که تابع همبستگی  $C(\delta x, \delta y)$  را بیشینه کند. دامنه جایه‌جایی‌ها بین تصاویر ۱ و ۲ تقسیم بر  $\delta t = t_2 - t_1$  مقدار سرعت را خواهد داد:  $v_y = \delta y / \delta t$  و  $v_x = \delta x / \delta t$  در



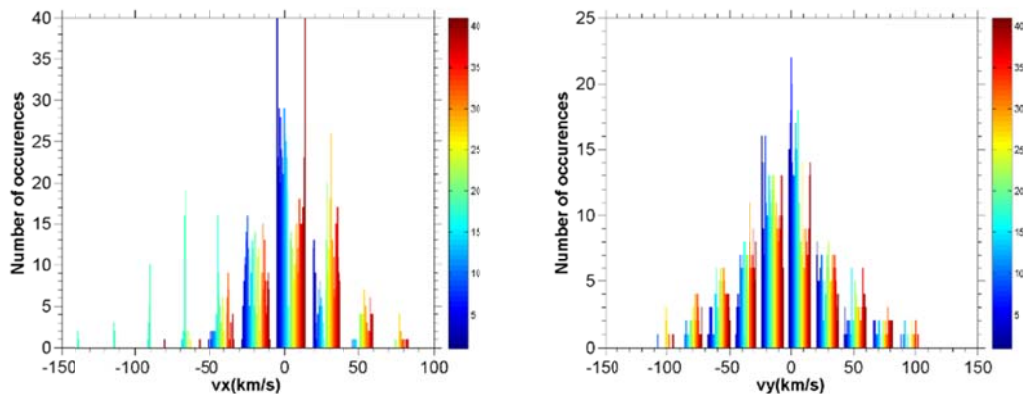
**شکل ۱. الف)** تصویر به دست آمده از مشاهدات IRIS در فیلتر Si IV مربوط به تاریخ نوزدهم فوریه ۲۰۱۴ که منشأ جت‌های شبکه‌ای با دایره‌های قرمزرنگ و یکی به رنگ زرد رنگ (مستطیل نقطه‌چین به رنگ زرد ناحیه مورد مطالعه) را نشان می‌دهد. ب) منطقه مورد مطالعه با درشت‌نمایی نشان داده شده است.



**شکل ۲.** تصویر IRIS مربوط به تاریخ نوزدهم فوریه ۲۰۱۴ در سه فیلتر رنگی نمایشی را نشان می‌دهد. مستطیل نقطه‌چین به رنگ زرد در تصویر سمت چپ ناحیه مورد مطالعه را نشان می‌دهد.



شکل ۳. میدان سرعت دو بعدی در پایه جت کروموففری برای ناحیه مورد مطالعه را نشان می‌دهد که در شکل ۱ این ناحیه با مستطیل زرد رنگ نمایش داده شده است. پیکان‌های آبی رنگ نشان دهنده بردارهای سرعت هستند که با استفاده از الگوریتم FLCT تحت برنامه‌نویسی IDL و نرم‌افزار متلب محاسبه و رسم شده است. شکل‌های (الف) تا (د) به ترتیب مربوط به بازه‌های زمانی ۱۶:۱۹، ۱۶:۳۸، ۱۶:۵۷ و ۱۶:۰۵ به ترتیب از ۱۷:۳۵ تا ۱۷:۱۶ دقیقه می‌باشد که به عنوان نمونه از بین ۱۸۰ تصویر انتخاب شده است.



شکل ۴. هیستوگرام توزیع مؤلفه‌های افقی و قائم سرعت جت‌های شبکه‌ای در ناحیه مورد مطالعه که در شکل ۱ با مستطیل زرد رنگ نمایش داده شده است.

#### ۴. بحث و نتیجه‌گیری

و سرعت بالا (نرديك به سرعت آلفون در منطقه انتقال) را نشان می‌دهد که اتصال مجدد مغناطیسی بین حلقه‌های مغناطیسی کوچک و پس زمینه را امکان‌پذیرمی‌سازد. بر اساس یافته‌های رصدی، تاکنون مدل‌های نظری و شبیه‌سازی‌های عددی مختلفی توسعه یافته‌اند تا سازوکار این ساختارها را توصیف کنند. البته، برخلاف پیشرفت‌های قابل توجه ایجاد شده با رصد های خیلی دقیق و گسترش نظریه‌ها و شبیه‌سازی‌های عددی، هنوز هم رابطه متقابل آنها، تعیین پارامترهای فیزیکی آنها، تعریف ساز و کار شکل‌گیری آنها و همچنین نقش احتمالی آنها در گرمایش تاج خورشیدی به‌طور دقیق مشخص نیست و مطالعه و تحقیق بیشتر در این زمینه رامی‌طلبید. این ابهامات عمدتاً ناشی از تفاوت در ظاهر این پدیده‌ها در هنگام مشاهده در خطوط طیفی مختلف است.

#### مراجع

- Cranmer, S. R., 2010, Incorporating Kinetic Effects into Global Models of the Solar Wind, American Geophysical Union, Fall Meeting 2010, Harvard, USA.
- De Pontieu, B., Hansteen, V. H., Rouppe van der Voort, L., van Noort, M. and Carlsson, M., 2011, High-Resolution Observations and Modeling of Dynamic Fibrils, *The Astrophysical Journal*, 655, 624-641, doi: 10.1088/059070.
- De Pontieu, B., McIntosh, S. W., Carlsson, M., Hansteen, V. H., Tarbell, T. D., Schrijver, C. J., Title, A. M., Shine, R. A., Tsuneta, S. and Katsukawa, Y. P., 2007a, Chromospheric Alfvénic Waves Strong Enough to Power the Solar Wind, *science*, 318, 1574, doi: 10.1126/science.1151747.
- Fisher, G. H. and Welsch, B. T., 2008, FLCT: A Fast, Efficient Method for Performing Local Correlation Tracking, Subsurface and Atmospheric Influences on Solar Activity, Astronomical Society of the Pacific Conference Series, proceedings of the conference, New Mexico, USA.
- Martinez-Sykora, J., De Pontieu, B., McIntosh, S. W., Carlsson, M., Hansteen, V. H., Tarbell, T. D., Boerner, P., Schrijver, C. J. and Title, A. M., 2011, The Origins of Hot Plasma in the Solar Corona, *science*, 331, 55, doi: 10.1126/science.1197738.
- Pereira, T., Tiago, M. D., De Pontieu, B., Carlsson, M., 2012, Quantifying Spicules, *The Astrophysical Journal*, 759, 16, doi: 10.1088/0004-637X/759/1/18.
- Shibata, K., Nakamura, T., Matsumoto, T., Otsuji, K., Okamoto, T. J., Nishizuka, N., Kawate, T., Watanabe, H., Nagata, S., UeNo, S., Kitai, R., Nozawa, S., Tsuneta, S., Suematsu, Y., Ichimoto, K., Shimizu, T., Katsukawa, Y., Tarbell, T. D., Berger, T., E. Lites, B. W., Shine, R. A. and Title, A. M., 2007, Chromospheric Anemone Jets as Evidence of Ubiquitous Reconnection, *Science*, 318, 1591, doi: 10.1126/science.1146708.
- Tavabi, E., Koutchmy, S. and Golub, L., 2015a, Limb Event Brightenings and Fast Ejection Using IRIS Mission Observations. *Solar Physics*, 290, 2871-2887, doi: 10.1007/s11207-015-0771-3.
- Tavabi, E., Koutchmy, S., Ajabshirizadeh, A., Ahangarzadeh Maralani, A. R. and Zeighami, S., 2015b, Alfvénic wave in polar limb spicules, *Astronomy and Astrophysics*, 573, 7, doi: 10.1051/0004-6361/201423385.
- Tian, H., DeLuca, E. E., Cranmer, S. R., De Pontieu, B., Peter, H., Martinez-Sykora, J.,

- Golub, L., McKillop, L., Reeves, K. K., Miralles, M. P., McCauley, P., Saar, S., Weber, M., Murphy, N., Lemen, J., Title, A., Boerner, P., Hurlbur, N., Testa, P., Tarbell, T. D., Wuelser, P. J., Kleint, L., Kankelborg, C., Jaeggli, S., Carlsson, M., Hansteen, V. and McIntosh, S. W., 2014, Prevalence of Small-scale Jets from the Networks of the Solar Transition Region and Chromosphere, *Science*, 346, doi: 10.1126/science.1255711.
- Tu, C-Y., Chuan, Yi., Zhou, C., Marsch, E., Xia, L- D., Zhao, L., Wang, J-X. and Wilhelm, K., 2005, Correlation Heights of the Sources of Solar Ultraviolet Emission Lines in a Quiet-Sun Region, *The Astrophysical Journal*, 624, 133-136, doi: 10.1086/430520.
- Welsch, B. T. and Fisher, G. H., Abbott, W. P. and Regnier, S., 2004, Recovering Photospheric Velocities from Magnetograms by Combining the Induction Equation with Local Correlation Tracking, *The Astrophysical Journal*, 610, 1148-1156, doi: 10.1086/421767.
- Yang, L., Zhang, J., Liu, W., Li, T. and Shen, Y., 2013, SDO/AIA and Hinode/EIS Observations of Interaction between an EUV Wave and Active Region Loops, *The Astrophysical Journal*, 775, 12, doi: 10.1088/0004-637X/775/1/39.
- Zeighami, S., Ahangarzadeh Maralani, A. R., Tavabi, E. and Ajabshirizadeh, A., 2016, Evidence of Energy Supply by Active-Region Spicules to the Solar Atmosphere, *Solar Physics*, 291, 847–858, doi: 10.1007/s11207-016-0866-5.
- <http://iris.lmsal.com/operations.html>.

## Distribution of plasma flow velocity field at the base of chromospheric jets

Amirkhanlou, E.<sup>1</sup>, Tavabi, E.<sup>2</sup> and Zeighami, S.<sup>3\*</sup>

1. M.Sc. Student, Department of Physics, Payame Noor University, zanjan, Iran

2. Associate Professor, Department of Physics, Payame Noor University, Tehran, Iran

3. Assistant Professor, Department of Physics, Tabriz Branch, Islamic Azad University, Tabriz, Iran

(Received: 3 Feb 2018, Accepted: 25 Sep 2018)

### Summary

The sun is constantly throwing ionized particles out of its surface and causing solar storms. Various investigations have been carried out for finding out the origin of these storms for 50 years, in the photosphere, corona, and chromosphere. Large-scale coronal holes are usually areas that are definitely accepted for origin of the storms. However, research is still being done in other areas. Network jets are one of the issues that we have tried to investigate the distribution of their velocity field and their structures and also their role in plasma flows. Oscillations and transverse displacement of the jet axis can be interpreted as the presence of transverse waves along their axis. The two types of waves responsible for these fluctuations are magneto-hydrodynamic waves and alfvénic waves. In this paper, we studied the transverse displacement of the network jet axis, with the FLCT algorithm under IDL. The FLCT method is widely used to obtain the speed of moving features. The observed area is so large that we can identify many of the network jets. After choosing the coordinates of the item using the FLCT algorithm, we intend to obtain the Alfvén velocity of the desired coordinates. The FLCT algorithm is a mathematical program used to construct a two-dimensional velocity field of connected images. The calculation of speed in this method depends on three factors: 1. Isolate the point on the image, 2- Calculation of correlation function between two images, 3. Peak location of the mutual correlation function, calculated for each pixel of the velocity. The FLCT algorithm uses interpolation to eliminate the complexity of the fixed angle on the center of the images. In results we can see the images analyzed in the IDL program, using MATLAB software to show the speed vectors that are torsional and indicate the speed of the alphabet. The images are in pixels and each pixel are is 0.3 sec. We estimated the chromosphere mass velocity of about  $20 \text{ kms}^{-1}$  using FLCT. Some of the network jets in the images seem to be other than the second type solar spicules sticks. However, we noticed that the speed of the jets is generally twice as large as the second type of sticks, which indicates the high contribution of these jets to the mass and energy of the solar atmosphere. We have noticed that network jets are important regardless of their relationship with second-generation sticks. A bunch of network jets is considered as an example of a jet. The network jet mechanism demonstrates the dynamics of the jets with high speeds (close to the speed of the Alfvén in the interface area), which allows magnetic reconnection between the small magnetic rings and the background. Based on observational findings, several theoretical models and numerical simulations have been developed to describe the mechanism of these structures. Of course, unlike the remarkable improvements created by very accurate observations and the expansion of numerical theories and simulations, it is still unclear and their mutual relationship, their physical parameters, the definition of their formation mechanism and their possible role in the solar corona heat is unknown. These ambiguities are mainly due to the difference in the appearance of these phenomena when viewed in a variety of spectral lines.

**Keywords:** Plasma, chromospheric jets, velocity, Alfvén waves.

---

\* Corresponding author:

zeighami@iaut.ac.ir